

# 原子力显微镜研究高聚物结晶的最新进展

罗艳红<sup>①②</sup> 姜勇<sup>①②</sup> 雷玉国<sup>③</sup> 陈志明<sup>③</sup> 金熹高<sup>①</sup> 李林<sup>①\*</sup>

(①中国科学院化学研究所分子科学中心, 高分子物理与化学国家重点实验室, 北京 100080; ②中国科学院研究生院, 北京 100039;

③香港科技大学化工系, 香港. \*联系人, E-mail: lilin@infoc3.icas.ac.cn)

对高分子结晶过程的研究是高分子物理研究的一个重要方向。球晶是高聚物最典型的结晶形态之一。高聚物球晶的形成过程一般被描述为<sup>[1,2]</sup>: (1) 具有相似构象的高分子链段聚集在一起形成一个稳定的原始核(primary nuclei); (2) 随着更多的高分子链段排列到核的晶格中, 核逐渐发展成一个片晶; (3) 片晶不断生长, 同时诱导成核(induced nuclei)出现并逐渐生长, 由原始的核逐渐发展成一束片晶; (4) 这一束片晶进一步生长, 并诱导形成更多的核, 最终发展成一个球晶。但结晶过程中很多细节问题还需深入的研究, 如原始核与诱导核在形成机理上有何区别? 诱导成核与高分子链结构的关系、片晶在生长过程中出现的弯曲(bending)和分叉(branching)等现象, 只有通过在片晶厚度尺寸(约 10 nm)上对高聚物结晶的生长过程进行原位的研究, 才能发展和完善高聚物的结晶理论。

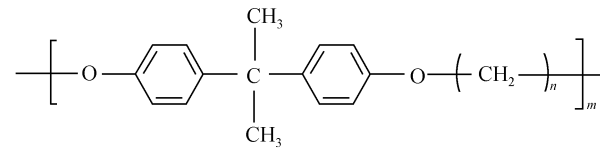
随着扫描探针显微镜(SPM)技术的快速发展<sup>[3~5]</sup>, 特别是原子力显微镜中共振模式(TM-AFM)的相位成像能够反映试样表面硬度、黏性和黏弹性等物性上的变化, 适合研究非均相表面的不同结构, 因而, AFM 已成为研究合成高分子、高分子共混物、共聚物及半结晶高分子表面的有力工具<sup>[6~8]</sup>。AFM 在研究高分子结晶方面取得了大量有意义的结果<sup>[9~17]</sup>, 一些结果证实了前人所提出的一些理论预测<sup>[11,12]</sup>, 而另一些则发现了新的结晶现象<sup>[11,13~17]</sup>。本文主要总结了我们用 AFM 研究高分子结晶的一些重要结果, 并简单介绍了我们实验室在这方面的最新研究成果。

## 1 晶核的形成

球晶的生长过程可分为成核和生长两个阶段, 在生长阶段新的晶核也在不断地形成。结晶最初形成的晶核叫初级晶核(也叫原始晶核), 生长阶段所生成的核叫次级晶核(也叫二次晶核)。聚合物的成核过程在决定最终结晶形态上起着非常重要的作用, 原始晶核的数量和分布在很大程度上影响成型后材料的性能。多年来, 对高聚物的结晶过程进行了许多研究, 包括光学显微镜、电子显微镜、傅里叶红外光谱

和小角 X 射线散射等<sup>[18~22]</sup>。但对晶核形态的直接观测还未见其他研究组报道。

近年来, 我们合成了一系列具有规整链结构和可控结晶速度的模型聚合物——聚双酚 A 正 n 烷醚(BA-Cn), 其结构如图 1 所示。用 AFM 在分辨片晶厚度尺寸上(约 10 nm)对该系列高聚物的结晶过程如成核、诱导成核、片晶和球晶的生长等动态过程进行了原位(*in-situ*)的研究。



$$n = 2, 4, 6, 8, 10, 12 \text{ 和 } 14$$

图 1 聚双酚 A 正 n 烷醚的结构

### 1.1 原始晶核的形成过程

对聚乙烯在过冷度为 50 °C 时临界核的尺寸进行估算表明, 其大小只有 10<sup>4</sup> nm<sup>3[23]</sup>。原始晶核尺寸如此之小, 许多研究方法无法对成核过程进行原位的研究<sup>[18~20,23]</sup>。利用 AFM 可以原位研究表面动态过程和具有较高分辨率的特点, 我们对图 1 所示高聚物样品的结晶过程进行了原位的研究<sup>[11]</sup>。通过改变分子链中软段的亚甲基个数和分子量, 可以调整聚合物在一定温度下的结晶速率。当软段中亚甲基数为 8(BA-C8)时, 在室温下聚合物片晶的生长速率适合原位 AFM 的研究。图 2 为 22 °C 下观测聚合物 BA-C8 原始晶核的形成、消失及最终形成稳定晶核并生长成片晶的系列 AFM 相位图。文中所有图的亮暗反差均为 60 度, 相位相对变化反映的是较硬的晶区与较软的无定型区所产生的差异。可以看到聚合物薄膜在 22 °C 退火一定时间后(诱导期), 熔体中一些高分子链由于热运动而排列规整, 形成了两个晶胚。图 2(a)中观察到它们的尺寸小于 10 nm, 这与理论预测原始晶核的尺寸相当。约 18 min 之后, 在同一区域只有一个晶胚存在, 而另一个晶胚由于分子链段的热运动已消失, 如图 2(c)所示。这一实验现象证实了热力学理

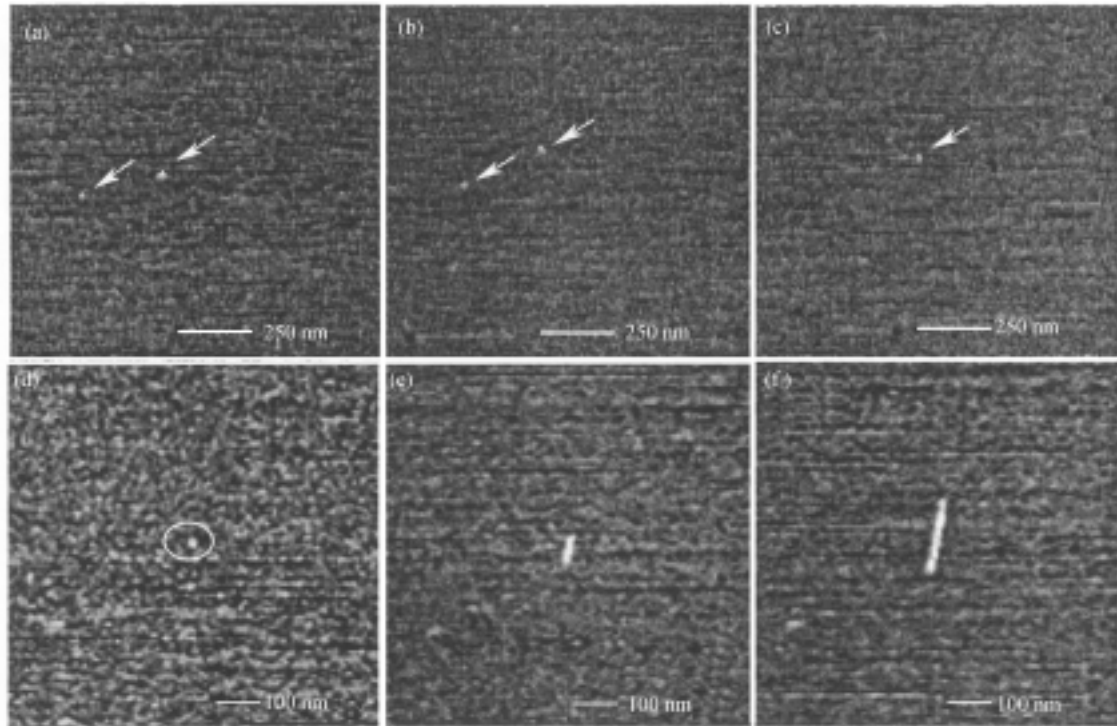


图 2 BA-C8 原始晶核和片晶的形成

论对原始晶核形成过程的理论预测：即在一定的过冷度下，由于局部的热涨落，一些高分子链段规整排列，形成晶胚。部分晶胚会由于周围链段热运动的带动而离开晶格，最终消失。同时，另外一些晶胚随着更多高分子链段排列到它的晶格中，会逐渐长大形成稳定的晶核(图 2(d))，并发展成片晶(图 2(e)和(f))。一旦晶胚成长到一定尺寸形成稳定的原始晶核，由于片晶的生成位垒远小于原始晶核的生成位垒，原始晶核会很快生长形成片晶。

## 1.2 诱导晶核的形成过程

当稳定的原始晶核形成之后，聚合物不断地在此晶核上生长，由原始晶核发展成片晶并最终形成一个完善的球晶，这一过程的实现曾被认为是原始片晶分叉和发散生长造成的。Keith 等<sup>[24]</sup>最早对球晶的发散生长和片晶分叉进行了描述，认为在晶体生长过程中，不能参与结晶的小分子杂质或低聚物不断向外扩散，并在片晶生长的前沿聚集导致了片晶的分叉。许多研究者对于这种扩散控制机理提出了质疑。其中，最有代表性的是 Bassett 等人<sup>[20]</sup>对淬火后球晶形貌进行研究的结果，Bassett 等人认为片晶分叉是由于原始片晶(母片晶)上的螺旋位错造成的。但

由于受电子显微镜制样条件的限制，对片晶分叉过程的直接观测尚未见报道。我们用 AFM 对聚合物 BA-C8 片晶的诱导成核过程进行了原位研究(图 3)。图中可以发现，诱导晶核往往出现在母片晶的附近，并落后母片晶生长前端约 0.5~1.0 μm 处。由诱导核生成的子片晶也会同时向两个相反方向生长(图 3(f))，分枝片晶还可以再次诱导产生新的晶核并进一步分枝。如此反复进行，一个母片晶逐渐产生大量的分枝最终形成一个球晶。这些结果为诱导成核导致片晶分枝的理论提供了直观的实验证据。

对诱导成核的深入研究发现诱导晶核总是出现在母片晶周围(如图 4(a)和(b)中的 1, 2, 3, 4, 5)。与原始晶核相比，诱导晶核相对较稳定。当诱导晶核开始生长时，母片晶与子片晶之间的距离会变小。在高分子结晶时，由于链段的规整排列和堆砌，结晶部分比无定形部分的体积小、密度高。无定形区的高分子链内或链间存在大量的缠结，在结晶过程中，分子链不可能在大范围内快速迁移，导致片晶的折叠表面上存在很多松散的链环和分子链纤毛。当高分子链的一端进入晶格时，这一分子链的整体活动性下降，使它较容易在母片晶的周围规整排列而形成新的晶核(诱导成核)。在形成新的晶核时，高分子链段需要

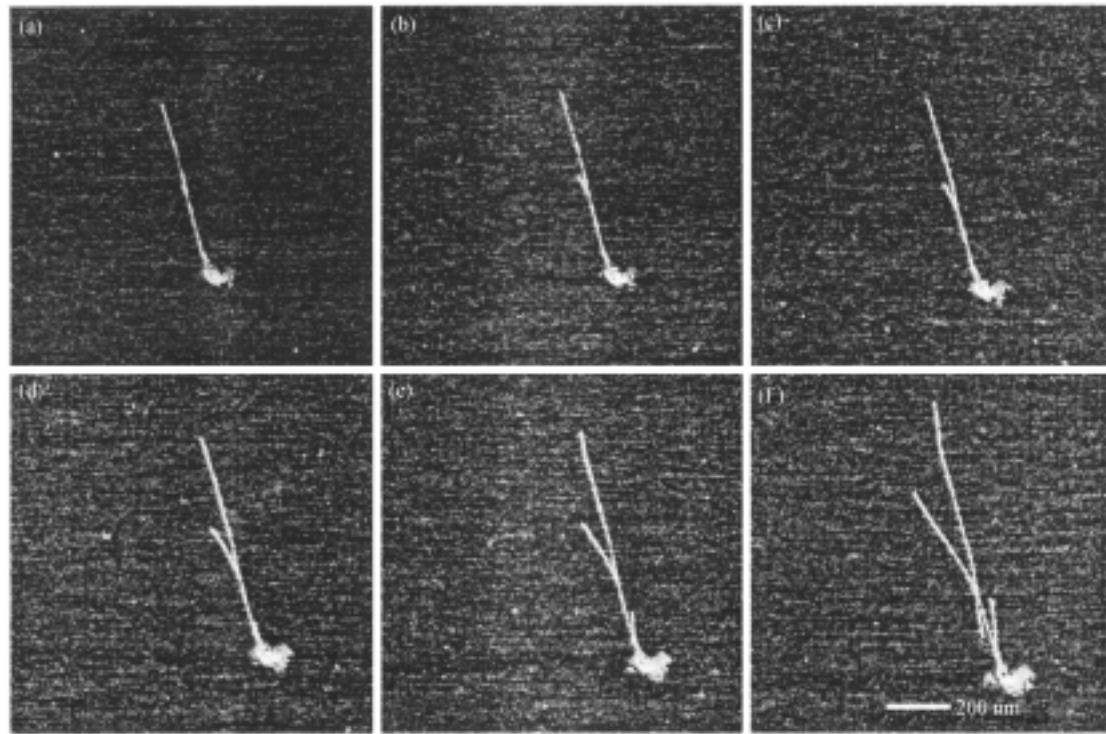


图 3 BA-C8 母片晶诱导成核过程

时间来改变链段的取向或调整它们的构象, 从而使诱导晶核出现的时间滞后, 即在母片晶向前生长约 0.5~1.0  $\mu\text{m}$  后, 诱导晶核才会形成。诱导晶核形成之后, 它们既可以向前生长也可以反向生长, 形成与母片晶有不同夹角的分枝片晶(图 4(c)和(d)中的 6, 7, 8, 9)。

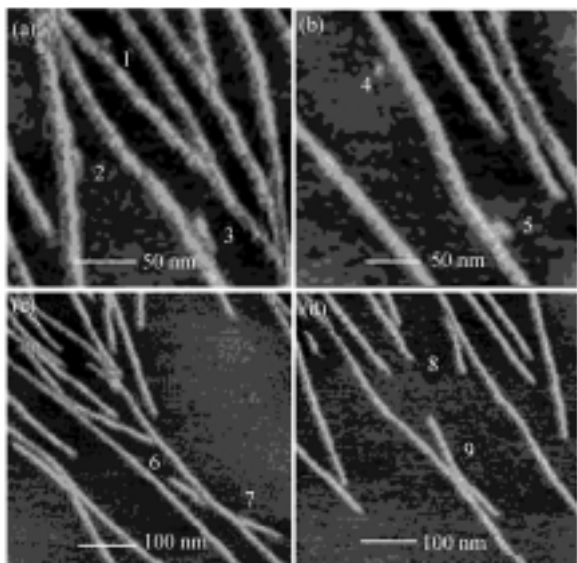


图 4 球晶生长前端的母片晶与诱导成核

## 2 片晶的生长和球晶的形成

球晶是由径向发散的片晶组成的, 早期主要采用光学显微镜对球晶径向生长速度、球晶生长动力学、成核速率等方面进行了广泛的研究<sup>[1,24]</sup>。但一直到电子显微镜的出现, 人们才开始研究组成球晶的片晶形貌和结构<sup>[18,20]</sup>。通过电子显微镜的观察发现, 球晶在生长的开始阶段并不是球形的, 它的生长需经历由单一片晶到捆束状片晶束, 片晶束的进一步分支、发散并最终生长成球晶的过程, 而对球晶生长过程的原位观测则是在 AFM 出现之后。

### 2.1 片晶的生长

图 5 为 BA-C8 球晶中片晶生长前端的相位图, 可以看出片晶具有非常相近的宽度(片晶 1, 2, 3), 说明在结晶温度一定时, 片晶厚度保持一致, 其宽度约为 10 nm。对片晶生长前端处的横切面曲线(图 5(a)中的 b, c, d)分析, 可以发现片晶生长的最前端(5~10 nm)(图 5(c)中 4)与片晶的其他部分(图 5(b)~(d))中 1, 2, 3 相比, 相位的相对变化较小。这表明在片晶生长的最前端分子链排列虽然已具有很高的有序性, 但还存在一些不规则的构象, 而这些不规则的构象会在

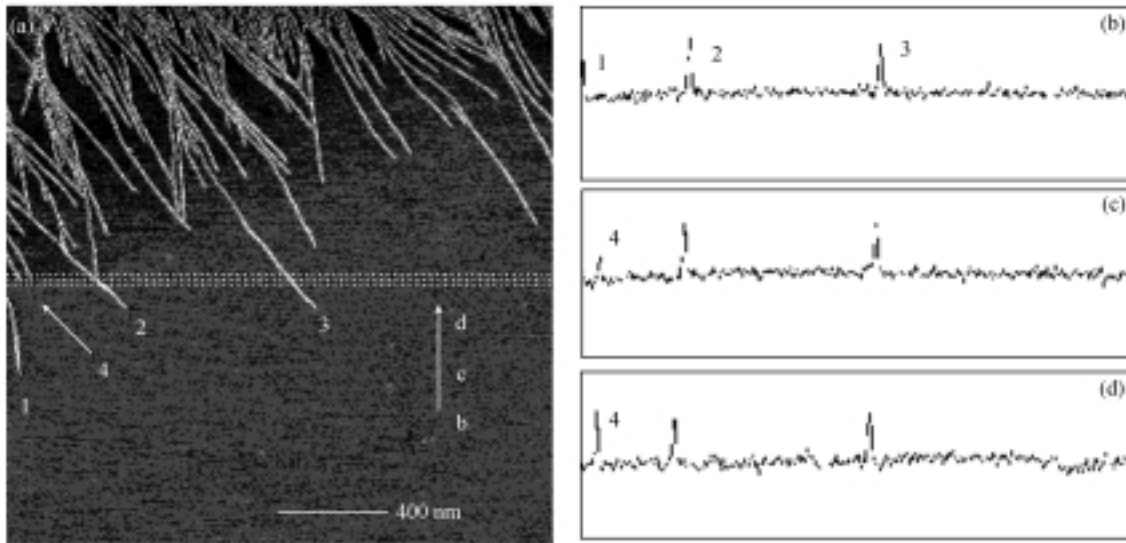


图 5 BA-C8 片晶生长前端的 AFM 图

片晶向前生长的同时逐渐调整自身结构，完善并形成最终的片晶结构(图 5(d)中 4).

另外我们发现处于球晶边缘区域中两个独立片晶，在其生长的不同阶段和不同地点，由于其生长周围高分子链段构象的变化以及生长片晶间的相互竞争，使其生长速度发生改变。这一结果与 Hobbs 等人<sup>[13]</sup>对 Poly(hydroxy butyrate-co-valerate)片晶生长的观测结果相一致。而我们最新的研究结果表明，单个片晶在不受其他片晶干扰的情况下生长速度是基本恒定的<sup>[1]</sup>。

Bassett 等人认为螺旋位错是球晶中片晶分叉的主要原因，而我们在实验中对片晶生长前端的观测结果表明，诱导成核并不是引起片晶分叉的惟一原因，两个生长中的片晶相遇后也会引起片晶的分叉，如图 6 中所示的 J<sub>1</sub>, J<sub>2</sub> 和 J<sub>3</sub> 三个交叉点。在片晶生长过程中，还存在两个片晶平行生长直至在某一时刻相遇，然后又分叉生长的现象(图 6 中 P)。片晶在生长过程中发生弯曲(图 6 中 B)也是常见的结晶现象。所有这些片晶生长方式都是片晶发散生长的原因，而对这些细节问题的观测是光学显微镜和电子显微镜所无法实现的。

## 2.2 球晶的形成过程

球晶是由拘束状片晶分叉发散生长而形成的，这一推断在多年以前已经被提出。我们对球晶的整个生长过程进行了原位的观测，结果(图 7)很好地证

实了前人对球晶生长过程的描述。球晶在开始生长时经历了拘束状片晶的形成和发展并逐渐成为球晶。这一过程中，一个原始晶核发展成一个片晶，此片晶不断地诱导生成新的核并发展出许多分枝片晶，新的分枝片晶也会不断诱导成核和进一步生长，逐渐形成一拘束状片晶簇(图 7(a)和(b))，片晶簇中的片晶不断生长、分枝和向外发散，片晶簇边缘的片晶生长

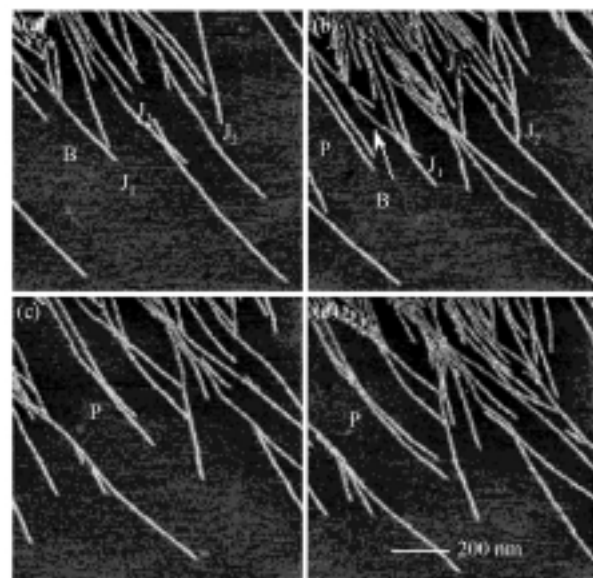


图 6 BA-C8 片晶的交叉、平行和弯曲生长

<sup>1)</sup> Lei Y G, Chan C M, Li J X, et al. The birth of an embryo and development of the founding lamella of spherulites as observed by atomic force microscopy. *Macromolecules* (待发表)

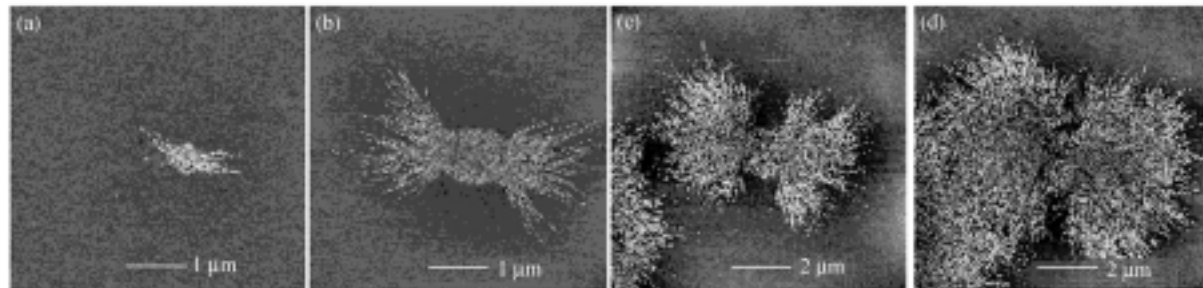


图 7 BA-C8 球晶的形成过程

合拢后, 形成球状结构(图 7(c)和(d)). 我们认为由无数片晶组成的球晶是由一个片晶发展形成的, 片晶的诱导成核是形成球晶的一个主要原因.

### 3 结束语

以上介绍了我们近几年来采用 AFM 对高分子结晶的一些研究结果, 我们相信今后高分子结晶仍然是 AFM 在高分子研究中的一个重要方向. AFM 在高分子结晶、融熔、外力作用下结构变化以及相分离过程的原位观察等方面, 尚有很大的研究空间, 例如我们实验室目前已初步完成了片晶的融熔和再结晶以及环带球晶中片晶的扭曲(twisting)生长等过程的原位研究. 我们认为 AFM 对高分子微观结构和形态变化的原位研究必将为高分子理论的发展提供更多的实验依据.

**致谢** 本工作为国家自然科学基金(批准号: 20044005, 20174049)和国家自然科学基金委员会与香港研究资助局联合资助(批准号: 20131160730 和 N\_HKUST618/01)项目.

### 参 考 文 献

- 1 Sperling L H. *Introduction to Physical Polymer Science*. New York: Wiley, 1992
- 2 何曼君. 高分子物理. 上海: 复旦大学出版社, 1990
- 3 Binnig G, Quate C F, Gerber C, et al. Surface studies by scanning tunneling microscopy. *Phys Rev Lett*, 1982, 49: 57~61
- 4 Binnig G, Quate C F, Gerber C. Atomic force microscope. *Phys Rev Lett*, 1986, 56: 930~933
- 5 白春礼. 扫描隧道显微术及其应用. 上海: 上海科学技术出版社, 1992
- 6 谭忠印, 马金, 白春礼, 等. 原子力显微镜对聚丙烯酰胺凝胶分形结构的研究. *中国科学, B 辑*, 1999, 29(2): 97~100
- 7 杨晓敏, 顾宁, 鲁武, 等. 聚甲基丙烯酸甲酯单层 LB 膜微结构的原子力显微镜观测. *科学通报*, 1994, 39(7): 653~655
- 8 屈小中, 史懿, 金熹高. 原子力显微镜在高分子领域的应用. *功能高分子学报*, 1999, 12(2): 218~224
- 9 Pearce R, Vancso G J. Atomic force microscopy of polymer crystals. 1. Chain fold domains in poly(ethylene oxide). *Polymer*, 1992, 33: 432~433
- 10 Pearce R, Vancso G J. Real-time imaging of melting and crystallization in poly(ethylene oxide) by atomic force microscopy. *Polymer*, 1998, 39(5): 1237~1242
- 11 Li L, Chan C M, Yeung K L, et al. Direct observation of growth of lamellae and spherulites of a semicrystalline polymer by AFM. *Macromolecules*, 2001, 34: 316~325
- 12 Ivanov D A, Amalou Z, Magonov S N. Real-time evolution of the lamellar organization of poly(ethylene terephthalate) during crystallization from the melt: high-temperature atomic force microscopy study. *Macromolecules*, 2001, 34(26): 8944~8952
- 13 Hobbs J K, McMaster T J, Miles M J, et al. Direct observations of the growth of spherulites of poly(hydroxybutyrate-co-valerate) using atomic force microscopy. *Polymer*, 1998, 39: 2437~2446
- 14 Li L, Chan C M, Li J X, et al. A direct observation of the formation of nuclei and the development of lamellae in polymer spherulites. *Macromolecules*, 1999, 32: 8240~8242
- 15 Li L, Ng K M, Chan C M, et al. Surface studies of the rearrangement of end groups of a polymer by ToF-SIMS and AFM. *Macromolecules*, 2000, 33: 5588~5592
- 16 Magonov S, Godovsky Y. *Atomic force microscopy, part 8: visualization of granular nanostructure in crystalline polymers*. American Laboratory, 1999, 31: 52~58
- 17 Strobl G. From the melt via mesomorphic and granular crystalline layers to lamellar crystallites: A major route followed in polymer crystallization? *Eur Phys J E*, 2000, 3(2): 165~183
- 18 Norton D R, Keller A. The spherulitic and lamellar morphology of melt-crystallized isotactic polypropylene. *Polymer*, 1985, 26: 704~716
- 19 Ma D Zh, Zhang J B, Wan M Zh, et al. The comparison of the ringed spherulite morphology of PCL blends with poly(vinyl chloride), poly(bisphenol A carbonate) and poly(hydroxyether of bisphenol A). *Macromol Chem Phys*, 2001, 202: 961~966
- 20 Bassett D C, Vaughan A S. On the lamellar morphology of melt-crystallized isotactic polystyrene. *Polymer*, 1985, 26(5): 717~725
- 21 Matsuba G, Kaji K, Nishida K. Conformational change and orientation fluctuations prior to the crystallization of syndiotactic polystyrene. *Macromolecules*, 1999, 32: 8932~8937
- 22 Floudas G, Hilliou L, Lellinger D, et al. Shear-induced crystallization of poly( $\epsilon$ -caprolactone). 2. Evolution of birefringence and dichroism. *Macromolecules*, 2000, 33(17): 6466~6472
- 23 Wunderlich B. *Macromolecular Physics, Volume 2*. New York and London: Academic Press, 1976
- 24 Keith H D, Padden F J. A phenomenological theory of spherulitic crystallization. *J Appl Phys*, 1963, 34: 2409~2421

(2002-03-04 收稿, 2002-05-30 收修改稿)